

ЖУРАВЛЕВ В.В., Самойлов А.К.

Б1-13-85-875

+



1118/86

ОБЪЕДИНЕННЫЙ ИНСТИТУТ ЯДЕРНЫХ ИССЛЕДОВАНИЙ

с 345 б

Б1-13-85-875

ДЕПОНИРОВАННАЯ ПУБЛИКАЦИЯ

Дубна 19 85

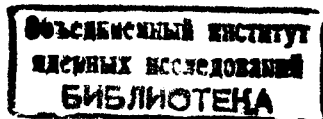
1.

ОБЪЕДИНЕННЫЙ ИНСТИТУТ ЯДЕРНЫХ ИССЛЕДОВАНИЙ
Лаборатория нейтронной физики

В.В.Журавлев, А.К.Самойлов

51-13-85-875

ГЕНЕРАТОР ЗАПУСКАЮЩИХ ИМПУЛЬСОВ УСКОРИТЕЛЯ
ЛИУ-30



Рукопись № 13-85-875

в библиотеке ядерной физики

5 - ДК - 85

Дубна, 1985 г.

Создание автоматизированных систем управления ускорителями требует разработки различных управляемых от ЭВМ блоков. Одним из таких блоков является генератор запускающих импульсов (ГЗИ), разработанный в составе аппаратуры автоматизированной системы сбора информации и управления ускорителем ЛИУ-30 (АСИУ) /1/. ГЗИ используется для запуска 52 модуляторов ускорителя и синхронизации работы подсистем АСИУ.

Известны аналогичные генераторы, выполненные в стандарте КАМАК /2,3/, однако особенности работы физических установок обычно требуют создания индивидуальных генераторов запуска. Описываемый ГЗИ синхронизован с положительным переходом синусоиды сети питания через ноль, что обусловлено необходимостью синхронизации размагничивания индукторов ускорителя с сетью питания /4/. Он содержит активный фильтр для подавления импульсных помех на входной синусоиде; имеет ручную регулировку фазы выходных импульсов; ручное и от ЭВМ задание режима работы; обеспечивает разовый пуск ускорителя и его запуск с регулируемой частотой. Конструктивно ГЗИ выполнен в модуле КАМАК тройной ширины.

На рис. I приведена принципиальная схема входного формирователя (ВФ). Входной синусоидальный сигнал (5В) на ВФ подается с дополнительной обмотки трансформатора источника питания крейта ИПС-ЗІ (выбор одной из трех фаз трансформатора определяется фазой размагничивания индукторов) и поступает на операционные усилители (ОУ) $\mathbf{D}\text{A}1$, $\mathbf{D}\text{A}2$. ОУ $\mathbf{D}\text{A}2$ включен в режиме компаратора, выходной прямоугольный сигнал которого выведен на переднюю панель для **настройки**. С выхода дифференциального усилителя $\mathbf{D}\text{A}1$ сигнал поступает на фазовращатель, выполненный по известной схеме /5/ на ОУ $\mathbf{D}\text{A}3$ и $\mathbf{D}\text{A}4$, в которой вместо повторителя на $\mathbf{D}\text{A}3$ собран

3.

фильтр Чебышева с частотой среза около 250 Гц. Фильтр позволил обеспечить подавление импульсных помех на синусоиде сети питания с частотным спектром ~~200~~ 200 кГц на 36 дБ и исключить ложные срабатывания компаратора **D A5**. Регулировка фазового сдвига производится многооборотным потенциометром **R I6**.

На рис.2 показана структурно-логическая схема блока. Выходной сигнал прямоугольной формы с выхода компаратора **D A5** преобразуется формирователем **Φ I6** в сигнал ТТЛ уровня длительностью 1 мкс и частотой 50 Гц. Сформированный сигнал через схему (7), делитель частоты, преобразователь ТТЛ-ЭСЛ и формирователь (I4) поступает на **ВЫХ.1 (NIM)** и **ВЫХ.2 (ЭСЛ)**.

Управление блоком производится как вручную, так и программно, при этом возможен непрерывный режим работы и режим разового пуска (кнопка "ПУСК"). В непрерывном режиме работы при ручном управлении переключатель П2 установлен в положение "Частота", П1 - "РУЧН." и необходимая частота 0,8:50 Гц задается переключателем П4. При переключении П1 в положение "ЭВМ" схемой управления делителем частоты вырабатывается сигнал запроса **L**, запускающий программу управления блоком. Необходимая частота (коэффициент деления частоты 50 Гц) может быть задана записью кода в регистр по шинам **W1÷ W7** и считана из регистра по шинам **R1÷ R7**. Возможен также программный переход с одного режима на другой.

В режиме разового пуска (в этом случае в регистр записывается коэффициент деления I) по команде **F** (24) или переключателями П1 и П2 (при ручном пуске) закрывается схема (7). По команде разового пуска **F** (25) или нажатием кнопки "ПУСК" (при ручном пуске) открывается схема (8) и синхроимпульсом запускается одновибратор ОВ (I0) со временем выдержки 20 мсек. На это время открывается схема (7) и пропускает следующий синхроимпульс, который через

делитель частоты, преобразователь ТГЛ-ЭСЛ поступает на выходы I и 2. После окончания времени выдержки ОВ (I0) сбрасывается триггер (2) и подготавливается для следующей команды разового пуска.

В режиме разового пуска возможен также предварительный запуск модуляторов первым импульсом без нагрузки пучком (перемычка П5 в положении 2). В этом случае на ВЫХ. 2 формируется пара импульсов, а на ВЫХ.I - одинарный импульс для запуска модулятора форинжектора (рис.3). Таким запуском предполагается устранить зависимость амплитуды ускоряющего импульса от момента разового пуска. Время выдержки ОВ (I0) устанавливается равным 40 мсек, ОВ (9) - 20 мсек. ОВ (9) позволяет пропускать через Ф (I4) только второй из пары синхроимпульсов.

Возможна блокировка ГЗИ внешним импульсом (вход "БЛОК") на необходимое время, равное длительности внешнего импульса. ОВ (II) используется для задержки запуска осциллографа ($I \div 3,2$ мкс) дискретно с шагом 0,2 мкс. С выхода Ф (I3) поступают импульсы для синхронизации подсистем АСИУ.

Генератор выполнен на ИС К155, К138, К500. Программно-управляемая организация работы генератора может быть построена с использованием следующих команд КАМАК:

NA(0)F(0) – чтение регистра;

NA(0)F(8) – проверка запроса;

NA(0)F(I0) – сброс запроса;

NA(0)F(I6) – запись в регистр;

NA(0)F(24) – перевод блока в режим разового пуска;

NA(0)F(25) – разовый пуск;

NA(0)F(26) – перевод блока в непрерывный режим;

$Z \cdot S_2$ - начальная установка;

$Q=1 = F(0) + F(8)L + F(16)$

$L=1$ - при переключении блока на управление по командам КАМАК;

$X=1$ - при правильной расшифровке функций.

Программная установка частоты генератора производится в соответствии с кодом статуса, записанным в регистр (таблица, где n - коэффициент деления частоты 50 Гц, логика КАМАК).

Основные технические характеристики:

1. Частота следования выходных импульсов - $50/n$, где $n = 1, 2, 4, 8, 16, 32, 64$.
2. Длительность выходных импульсов - 1 мкс.
3. Уровень выходных сигналов - ВЫХ.1 - NIM , ВЫХ.2 - ЭСЛ.
4. Точность привязки к нулю синусоиды сети питания - $\pm 0,01$ град.
5. Диапазон регулирования сдвига фазы - $(0 \div -30)$ град.
6. Коэффициент подавления высокочастотных помех определяется активным фильтром H_4 второго порядка с частотой среза 250 Гц.
7. Потребление по цепям питания: +6В/120 мА; -6В/190 мА; +12В/20 мА; -12В/30 мА.

Генератор безотказно работает в течение года, обеспечивая наладку ускорителя. В заключение авторы выражают благодарность П.С.Анцупову и В.Н.Замрию за полезные обсуждения и О.В.Володину за монтаж блока.

Таблица.

<i>n</i>	<i>w₁</i>	<i>w₂</i>	<i>w₃</i>	<i>w₄</i>	<i>w₅</i>	<i>w₆</i>	<i>w₇</i>
1	0	0	I	I	I	I	I
2	I	0	I	I	I	I	I
4	I	I	0	I	I	I	I
8	I	I	I	0	I	I	I
16	I	I	I	I	0	I	I
32	I	I	I	I	I	0	I
64	I	I	I	I	I	I	0
БЛОК	I	I	I	I	I	I	I

Литература.

1. Журавлев В.В. и др. Труды УШ Всесоюзного совещания по ускорителям заряженных частиц. Протвино; 1982, т.II, ОИЯИ, Дубна, с.312.
2. Долбилов Г.В. и др. ОИЯИ, 9-80-102, Дубна, 1980.
3. Инкин В.Д. и др. ОИЯИ, 10-82-106, Дубна, 1982.
4. Анацкий А.И. и др. Система синхронизации линейного индукционного ускорителя. - В кн.: Электрофизическая аппаратура. Вып.9, М., Атомиздат, 1971, с. 97.
5. Алексеенко А.Г. и др. Применение прецизионных аналоговых ИС. М., "Радио и связь", 1981, с. 125.

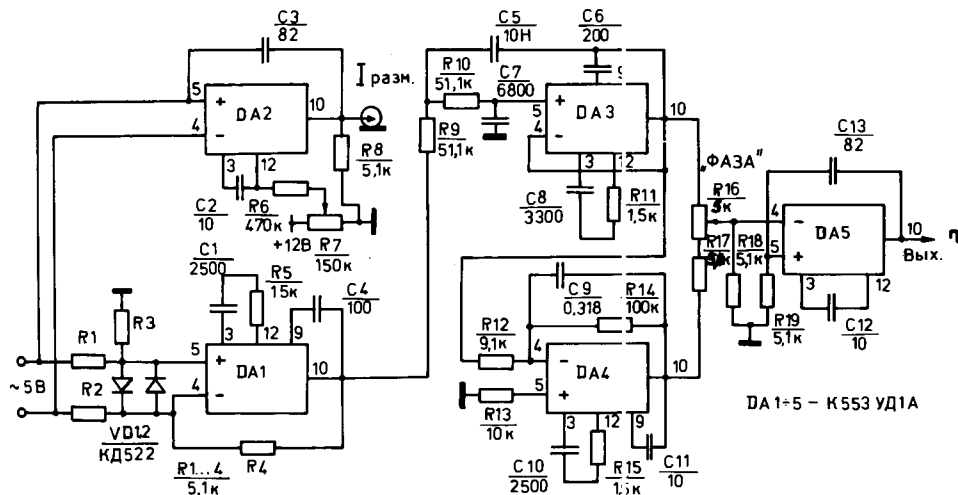


Рис.1. Принципиальная схема входного формирователя.

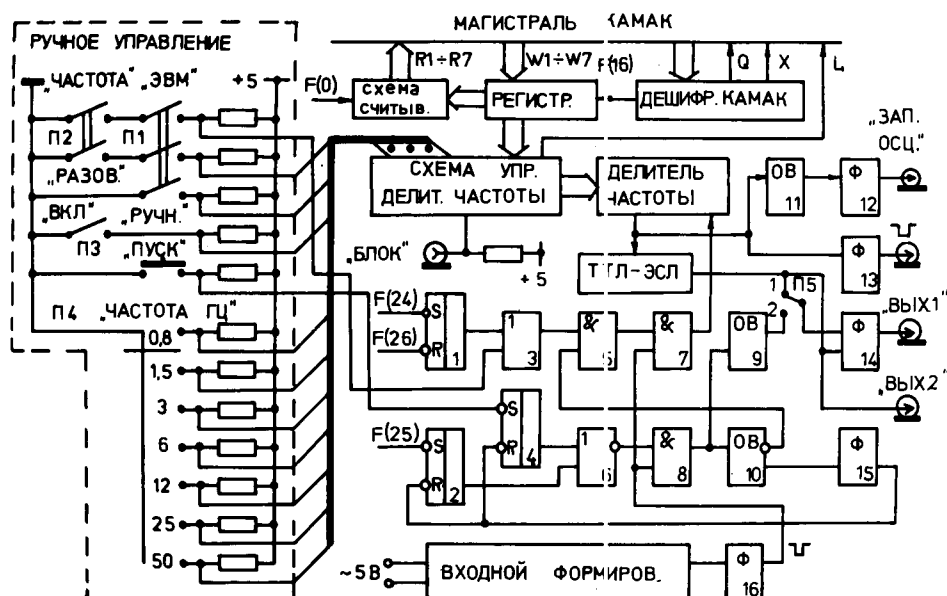


Рис.2. Структурно-логическая схема блока.

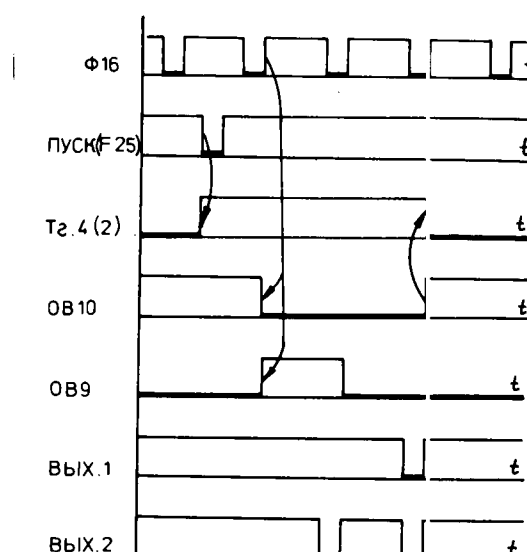


Рис.3. Временная диаграмма режима разового пуска (П5 в положении 2).